

A

exam Galaxies 25-04-07

C) surface brightness profile $I(r)$

$M/L = \text{constant.} \rightarrow M = C \cdot L \quad C = \text{constant}$

total luminosity $L = \int d\phi R dR I(R, \phi)$

• \rightarrow niet afhankelijk van de hoek ϕ .
 $\Rightarrow M_L/C = \int_R dR I(R)$.

$\Rightarrow I(R) = \frac{dM(r)}{dR} \Big|_{CR}$

$M(r) = \frac{M_0 r^3}{(r^2 + a^2)^{3/2}}$ (vraag b).

$\Rightarrow \frac{dM(r)}{dr} = \frac{3M_0 r^2}{(r^2 + a^2)^{3/2}} - \frac{3M_0 r^4}{(r^2 + a^2)^{5/2}}$

$\Rightarrow I(r) = \frac{3M_0 r^2}{C(r^2 + a^2)^{3/2}} \left(1 - \frac{r^2}{r^2 + a^2} \right)$

, the surface
brightness
is related
to the density
 $I(r) = \frac{f(dz)}{\infty} f(r)$

(2) The stars in the Galactic disk follow almost circular orbits. For these orbits there are two possibilities: the rotation is that of a rigid body, or the rotation is differential (depends on r). In ~~the~~ the disk of our Milky Way the rotation is differential ($v_c(r)$) as in $v_c \propto 1/r$ and the stars closer to the center rotate faster. The orbits are not exact circles, there are ~~no~~ radial velocities Ω , rotation velocities (already called v_c) and velocities out of the plane (in z -direction, positive upwards). The motions of the stars can be measured ~~from~~ with respect to the Local Standard of Rest. This is the mean value of the motions of the stars in the Solar Neighborhood. With respect to the LSR the line-of-sight velocity of stars is $v_{lsr} = A d \sin i l$ ~~and the motion perpendicular to the direction of sight is~~ Here A is ~~the~~ one of the

$$\textcircled{1} \quad \text{a) gravitational potential } \Phi(r) = -\frac{GM_t}{r}$$

rotation curve $V(r)$. for rotation:

~~Mt = total mass of system.~~

~~a = characteristic scale.~~

$$V(r) = F = -\frac{d\Phi}{dr}$$

$$\frac{d\Phi}{dr} = \frac{GM_t}{r^2 + a^2} \cdot \frac{2r}{\sqrt{r^2 + a^2}} \cdot \frac{1}{2} = -\frac{GM_t r}{(r^2 + a^2)^{3/2}}$$

$$\text{so } \frac{V^2(r)}{r} = \frac{Gr M_t}{(r^2 + a^2)^{3/2}}$$

$$\Rightarrow \frac{V^2(r)}{r} = \frac{Gr M_t}{(r^2 + a^2)^{3/2}}$$

$$\Rightarrow V^2(r) = \frac{Gr^2 M_t}{(r^2 + a^2)^{5/2}} \Rightarrow V(r) = \frac{r \sqrt{G M_t}}{(r^2 + a^2)^{3/4}}$$

max:

$$\frac{dV^2(r)}{dr} = 0$$

$$-\frac{GM_t}{r^2 + a^2} \left(\frac{2r}{(r^2 + a^2)^{3/2}} - \frac{3r^3}{(r^2 + a^2)^{5/2}} \right) = 0.$$

$$\Rightarrow 2r = \frac{3r^3}{r^2 + a^2}$$

$$2r^2 + 2a^2 = 3r^2$$

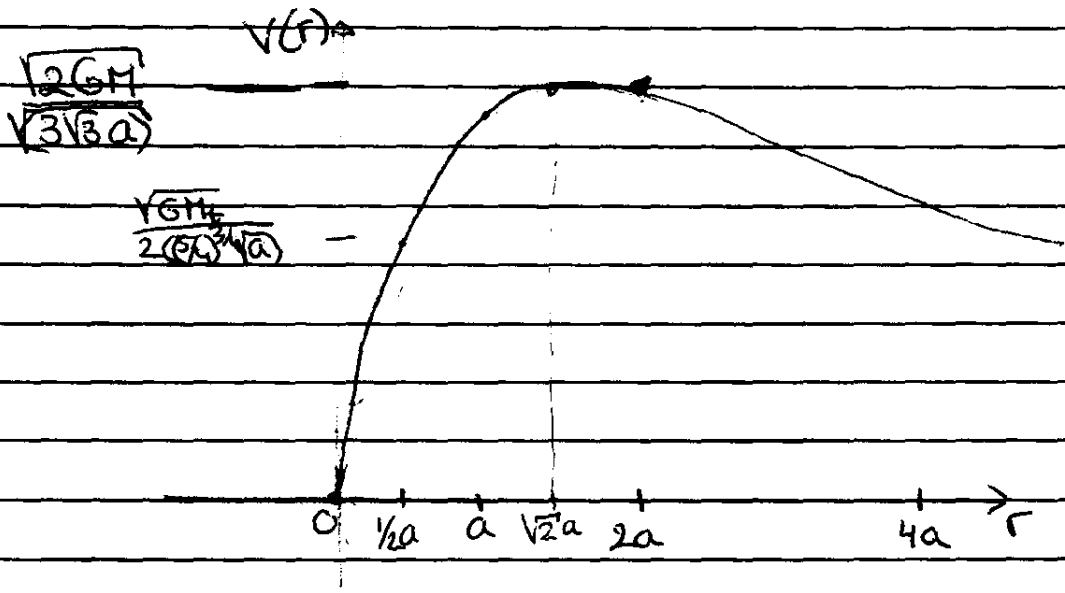
$$r^2 = \sqrt{2}a.$$

$$\Rightarrow V^2(r) = \frac{6\sqrt{2}a^2 M_t}{(2a^2 + a^2)^{3/2}} = -\frac{6\sqrt{2}M_t}{3\sqrt{3}a}$$

this maximum velocity

is reached at $r = \sqrt{2}a$

$$A_2 \quad V(r) = -\frac{r \sqrt{GM_t}}{(r^2 + a^2)^{3/2}}$$



r	$V(r)$
$\frac{1}{2}a$	$\frac{1}{2}a \sqrt{GM_t} / ((\frac{5}{4}a)^{3/2}) \sqrt{a}$
a	$\sqrt{GM_t} / (2^{3/2}\sqrt{a})$
$2a$	$2\sqrt{GM_t} / ((\frac{9}{4}a)^{3/2}) \sqrt{a}$
$3a$	$3\sqrt{GM_t} / ((\frac{16}{9}a)^{3/2}) \sqrt{a}$
$4a$	$4\sqrt{GM_t} / ((\frac{27}{16}a)^{3/2}) \sqrt{a}$

de dichtheid van de schil maal R_{eff}
oppervlakte, opgeteld
van o naarr.

$$b) \quad \Phi(r) = -\frac{GM_t}{\sqrt{r^2 + a^2}}$$

$$M(r) = \int_0^r 4\pi r'^2 \rho(r') dr'$$

$$\frac{d\Phi(r)}{dr} = -F = \frac{GM_t}{r^2}$$

$M(r)$ is de massa binnen straal r dus eigenlijk $M(r)$

$$\frac{GM_t r}{(r^2 + a^2)^{3/2}} - \frac{GM_t(r)}{r^2}$$

$$M(r) = M_t r^3 / (r^2 + a^2)^{3/2}$$

$$\Rightarrow \rho(r) = \frac{dM(r)}{dr} \frac{1}{4\pi r^2}$$

$$= \left(\frac{3M_t r^2}{(r^2 + a^2)^{3/2}} - \frac{3M_t r^3 \cdot 2r}{2(r^2 + a^2)^{5/2}} \right) \frac{1}{4\pi r^2}$$

$$= \frac{3M_t}{4\pi(r^2 + a^2)^{3/2}} \left(1 - \frac{r^2}{r^2 + a^2} \right)$$

A

Orbt constants. $A = -0,5R \frac{d\Omega^2}{dR}$

constant $B = -(\Omega^2 + A) = -(\Omega^2 + 0,5R \frac{d\Omega^2}{dR})$

The Orbt constants A and B describe the deviation of the stars motion from the circular orbit.

~~Position~~ Ω en A beschrijft de bewegingen van sterren loodrecht op hun circelbaan en B beschrijft de neiging van sterren om kleine cirkeltjes te maken rond hun eigenlijke baan. A en B samen geven de radiale snelheid van sterren in de SN. bijvoorbeeld $\frac{\Omega}{R_0} = A - B$ $\frac{R_0}{R_c}$ = this is the angular velocity

de groep van

- ③ Elliptical Galaxies ~~can~~ kan worden opgedeeld in 3 subgroepen. Giant ellipticals zijn de grootste sterrenstelsels die we kennen, ze zijn vaak in het centrum van een cluster te vinden. Over het algemeen komen elliptische stelsels vaker in gebieden met een grote dichtheid voor. De lichtverdeling van Giant ellipticals volgt vrij goed de Vaucouleurs law d.w.z. gaat volgens een power law met $r^{1/4}$. Alleen in het centrum van een giant elliptical zit een zeer dichte core waar de lichtverdeling bijna constant is. Het ~~core~~ ligt zo te zijn dat in deze stelsels vaak een giant black hole zit.
- de Midsized ellipticals hebben vergelijkbare eigenschappen als de giants, alleen dan in wat mindere mate. De beweging van sterren is in giants bijna uitsluitend random terwijl er in een midsized elliptisch stelsel al wat rotatie voorhanden is.
- De kern van een middelgroot stelsel is niet zo dicht als bij een giant, het is geen core maar een cusp, de lichtverdeling is ook niet constant in het centrum maar verminderd geleidelijk naar de rand van het centrum toe.
- Verder zijn er nog dwerg ellipticals. Dit zijn de kleinste stelsels die we kennen, ze do sterren roteren maar hebben

A

exam Galaxies 25-04-07.

~~TOP SECRET~~

ooh nog random motions, de lichtverdeling neemt exponentiaal af naar buiten toe.

Over het algemeen hebben ~~de~~ sterren in elliptische stelsel ~~de~~ zeer lage metallicity. Uit spectra blijkt wel dat dwarfs relatief meer metalen hebben dan midsized and giant ellipticals. In een simpel model kan een elliptisch stelsel worden gezien als een zeer heldere kern waarbij de lichtverdeling naar buiten toe snel afneemt.

④ Als een groep sterren geboren wordt zijn ze zeer helder en erg blauw. Sterren met ~~de~~ zeer weinig metalen zijn ~~blauw~~ blauwer dan metaal-rijke sterren in hun hele leven. De kleur van de sterren verloopt ongeveer met hun oppervlakte-temperatuur (ik laat metallicity verder buiten beschouwing want dat veranderd niet met tijd). Als sterren geboren worden hebben ze een zeer hoge oppervlakte-temperatuur en zijn dus blauw. Tijdens hun leven op de main sequence loopt dit iets af (richting gele) waarbij de kleur erg afhangt van de massa van de ster (lage massa, hoge oppertemp). Aan het eind van de main sequence ~~gaat~~ is het waterstof op, gaat de ster uitzetten en helium verbranden (en eventueel meer). De reus heeft een lagere oppervlakte-temperatuur en is dus roder. Het kleurverloop van een single stellar population is dus globaal van blauw naar rood. De luminosity van een single stellar population is als volgt:
 $L = L_{MS} + L_{GB}$ Hierbij gaat het bij beide natuurlijk om het aantal sterren dat op MS danwel Giant Branch zit.

L_{MS} wordt ~~roter~~ lager in de tijd. Dit komt doordat er steeds minder sterren op de main sequence zitten en de meer massieve (= heldere) sterren eerder op Rot turn-off point zijn

A₅

LGB wordt ook lager in de tijd omdat de sterren die later op de Giant Branch komen minder ~~massa~~ massa hebben en dus minder helder zijn en maar een zeer korte tijd op de giant branch doorbrengen dus L wordt steeds minder voor een SSP

Hierop gebaseerd zouden globular cluster vroeger helderder geweest moeten zijn (aangezien globular cluster oude sterren groepen zijn)

5 AGN's zijn ~~sterke~~ sterke bronnen in het centrum van een stelsel. sommige AGN's zijn helderder dan het stelsel waar ze in zitten.

De theorie is dat Een AGN wordt gevormd door een zwart gat in het centrum van ~~een~~ een stelsel

Dat zwarte gat trekt ^{het gas} in zijn omgeving aan.

~~het~~ gas De rotatie van het gas rond het zwarte gat gaat steeds sneller waardoor het aangeslagen wordt. Uiteindelijk is de dichtheid ~~zo~~ zo hoog dat er ~~straling~~ zeer sterke straling wordt uitgesonden in bijna elke band. Dit wordt gerconcentreerd in één of twee jets die loodrecht op het rotatievlak van ~~het~~ het stof en gas rond het zwarte gat. ~~de~~ Jets kunnen zo'n kracht hebben dat ze weer druk uitoefenen op het gas en stof dat ~~naar~~ door het zwarte gat wordt aange trokken. Rond de jets kan dit resulteren in gigantische lob's waar het stof dat druk onder vindt van de straling tot ver buiten het sterrenstelsel wordt geduwd. Dicht bij het centrum liggen de snelheden hiervan rond de lichtsnelheid. Er is een grens waarbij de straling zo'n zwart gat kan uitslaan omdat de stralingsdruk anders gelijk is aan de gravitatiële kracht. Dit maxim

A6

is de Eddington luminosity en deze hangt sterk samen met de Schwarzschild radius van het zwarte gat

B1

a) $\frac{\partial}{\partial r} \phi(r) = \frac{v^2(r)}{r}$

$$\frac{\partial}{\partial r} \phi(r) = \frac{\partial}{\partial r} \left(\frac{-GM_E}{\sqrt{r^2 + a^2}} \right) = \cancel{\frac{\partial}{\partial r}} - GM_E \frac{\partial}{\partial r} \left[(r^2 + a^2)^{-1/2} \right]$$

$$= -\frac{1}{2} GM_E (r^2 + a^2)^{-3/2} \cdot 2r = \frac{GM_E r}{(r^2 + a^2)^{3/2}} = \frac{v^2(r)}{r} \Rightarrow$$

$$v^2(r) = \frac{GM_E \cdot r^2}{(r^2 + a^2)^{3/2}} \Rightarrow v(r) = \sqrt{\frac{GM_E \cdot r^2}{(r^2 + a^2)^{3/2}}} \quad \checkmark$$

~~• $v^2(r) = \frac{GM_E \cdot r^2}{(r^2 + a^2)^{3/2}}$~~ ~~$\sqrt{m_e} \text{ ist cts?}$~~

~~• $v^2(r) = \max \text{ als } \frac{\partial}{\partial r} v^2(r) = 0$~~

$$\frac{\partial}{\partial r} v^2(r) = \frac{2GM_E r (r^2 + a^2)^{-3/2} - GM_E r^2 \cdot \frac{3}{2} (r^2 + a^2)^{-5/2} \cdot 2r}{(r^2 + a^2)^3}$$

dit is o. als

$$2GM_E r (r^2 + a^2)^{-3/2} = GM_E r^2 \cdot \frac{3}{2} (r^2 + a^2)^{-5/2} \cdot 2r$$

$$(r^2 + a^2) = \frac{3}{2} r^2$$

$$r^2 (\frac{3}{2} - 1) = a^2$$

$$r^2 = \frac{a^2}{\cancel{2}} \rightarrow r^2 = 2a^2$$

$$v^2(\frac{a^2}{2}) = \frac{GM_E a^2}{2(\frac{a^2}{2} + a^2)^{3/2}} = \frac{GM_E a^2}{2(\frac{3}{2}a^2)^{3/2}} = \frac{GM_E a^2}{2 \cdot \frac{3}{2}a^2 \sqrt{\frac{3}{2}a^2}}$$

$$= \frac{GM_E}{3\sqrt{\frac{3}{2}}a} = \frac{\sqrt{2}GM_E}{3\sqrt{2}a}$$

(the $\sqrt{2}$ should be 2 but I can't find it)

B2

- $r^2 = \frac{a^2}{2}$ at maximum (see best chart)
- $r = \frac{a}{\sqrt{2}}$

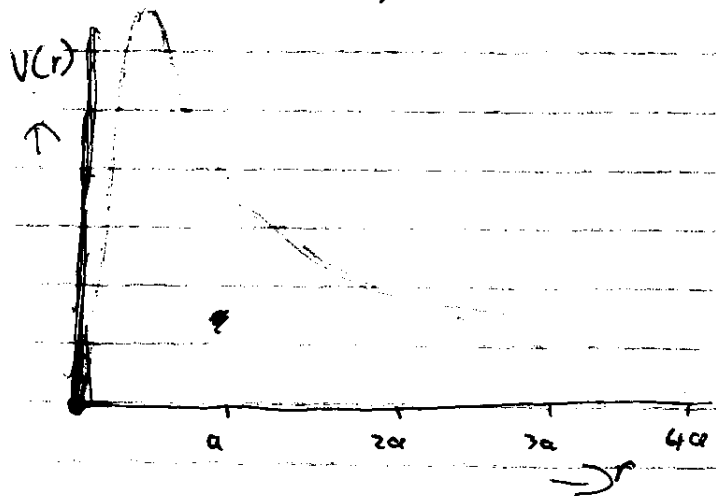
$$V(r) = \sqrt{\frac{GM + r^2}{(r^2 + a^2)^{3/2}}}$$

at $r=0$ $V(r)=0$

$$\text{at } r=a \quad V(r) = \sqrt{\frac{GM + a^2}{(2a^2)^{3/2}}} = \sqrt{\frac{GM + a^2}{2^{3/2} a^2}} = \sqrt{\frac{GM}{2^{3/2}}} \cdot \frac{1}{a^{1/2}}$$

$$\text{at } r=2a \quad V(r) = \sqrt{\frac{GM + 4a^2}{(5a^2)^{3/2}}} = \sqrt{\frac{GM + 4a^2}{5^{3/2} a^2}} = \sqrt{\frac{GM}{5^{3/2}}} \cdot \frac{1}{a^{1/2}}$$

so $V(r)$ for $n.a = \sqrt{\frac{GM}{a}} \cdot \frac{1}{(n^2+1)^{3/2}}$. In het begin neemt
 with $r \geq 1$ $V(r)$ steek toe



- b) Newton's ~~second~~ law tells us, that only the mass inside the radius of a particle, works on that particle.

$$\phi(r) = \frac{-GM}{\sqrt{r^2 + a^2}}$$

$$\text{from Newton's law } \phi(r) = -\frac{GM}{r} \Rightarrow$$

✓

B₃

$$\frac{-GM_F}{\sqrt{r^2+a^2}} = \frac{-GM(r)}{r} \Rightarrow$$

$$\frac{M_F}{\sqrt{r^2+a^2}} = \frac{M(r)}{r} \Rightarrow M(r) = \frac{M_F \cdot r}{\sqrt{r^2+a^2}} \quad \checkmark$$

c) $M(r) = \frac{M_F \cdot r}{\sqrt{r^2+a^2}}$ } $\frac{M_F \cdot r}{\sqrt{r^2+a^2} \cdot c} \neq L(r)$
 $M/L = c \cdot l = c \Rightarrow M \propto L$

$$L(r) = 2\pi \int I(r) \cdot r dr \Rightarrow \frac{d}{dr} L(r) = 2\pi I(r) \cdot r$$

~~or~~ $\frac{d}{dr} \left[\frac{M_F \cdot r}{\sqrt{r^2+a^2}} \right] = \frac{M_F \cdot c \cdot \sqrt{r^2+a^2} - M_F r \cdot \frac{1}{2} \cdot (r^2+a^2)^{-1/2} \cdot 2r}{r^2+a^2}$

$$= \frac{M_F \sqrt{r^2+a^2} \cdot c - M_F \cdot r^2 \cdot \frac{c}{\sqrt{r^2+a^2}}}{(r^2+a^2)} \cdot \cancel{\frac{2r}{r^2+a^2}} \cdot \frac{\sqrt{r^2+a^2}}{\sqrt{r^2+a^2}}$$
$$\Rightarrow I(r) = \frac{M_F / r \cdot \sqrt{r^2+a^2} + M_F \cdot r \cdot \frac{1}{\sqrt{r^2+a^2}}}{2\pi}$$

$$= \frac{M_F (r^2+a^2) - M_F r^2}{(r^2+a^2)^{3/2} \cdot c} = I(r) \cdot r \cdot 2\pi$$

$$\Rightarrow I(r) = \frac{M_F [(r^2+a^2)/r - r/c]}{2\pi (r^2+a^2)^{3/2}}$$

T.P.O.

B4

$$c) M(r) = \frac{M_f \cdot r}{\sqrt{r^2 + a^2}} \quad \left. \begin{array}{l} \\ \end{array} \right\} \frac{M_f \cdot r}{\sqrt{r^2 + a^2} \cdot c} = L(r)$$

$$M/L = cst = c \Rightarrow M = L \cdot c$$

$$L(r) = 2\pi \int_0^r I(r) r \cdot dr \Rightarrow \cancel{2\pi} \cancel{\int_0^r} \cancel{dr} \rightarrow 2\pi I(r) \cdot r = \frac{\partial}{\partial r} L(r)$$

$$\frac{\partial}{\partial r} L(r) = \frac{M_f \cdot \sqrt{r^2 + a^2} \cdot c - M_f \cdot r \cdot c \cdot \frac{1}{2} \cdot 2r \cdot (r^2 + a^2)^{-\frac{1}{2}} \cdot \frac{4a^2}{\sqrt{r^2 + a^2}}}{(r^2 + a^2)^{\frac{3}{2}} \cdot c^2}$$

$$= \frac{M_f ((r^2 + a^2)c - r^2 \cdot c)}{(r^2 + a^2)^{\frac{3}{2}} \cdot c^2} = 2\pi I(r) \cdot r \Rightarrow$$

$$I(r) = \frac{M_f [(r^2 + a^2)/r - r]}{2\pi (r^2 + a^2)^{\frac{3}{2}} \cdot c^2}$$

This is not correct. Remember that the surface brightness is a function of R , while $r^2 = R^2 + z^2$

You should've derived the mass density from

$$\frac{dM}{dr} = 4\pi r^2 \rho(r) \quad \text{or} \quad \frac{dM}{dr} = \pi r^2 f_{\text{dm}}(r) = 4\pi r^2 \rho(r)$$

$$I(R) = f \times \int_{-\infty}^{\infty} dz f(r)$$

B3

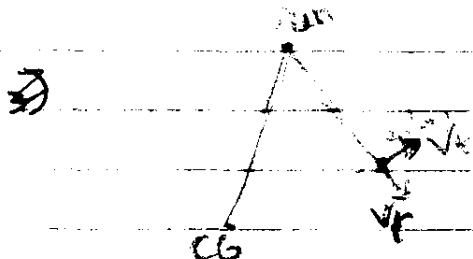
2)

Dit ~~kan~~ hangt samen met de Oort constantes A en B .
 Deze constantes geven de snelheid per kpc aan. ~~A heeft~~
~~het te maken met de~~ Beiden zijn afhankelijk van de
 hoeksnelheid van melkweg. A geeft de snelheid op een afstand
 R aan en B de shear (nederlandse woord?) om deze boven. Er
 geldt dat $V_c = R(A - B)$

↳ C6 = center of clavicle

V_R = radiale snelheid

v_t = tangentiële snelheid.



B6

- 3) Elliptische stelsels zijn elliptisch van vorm.
~~Hun snelheidsgespreidingen~~ Ze voldoen aan de Faber-Jackson relation, die aangeeft dat de luminosity evenredig is met de snelheidsgespreiding σ tot de $\alpha^2 \Rightarrow L \propto \sigma^4$
~~Elliptische zijn ook hun massa is dan ook~~
~~Spectra hebben een dal~~
Spectra van de stelsels lijken erg op de spectra van K-groepen. Dit wijst erop dat elliptische stelsels erg oud zijn, anders werd het spectrum niet bepaald door reuzen. Dat de sterren oud zijn betekent ook dat ze rood zijn, dit zien we ook.
In elliptische stelsels vindt geen ster形成的 meer plaats en de metallicity van de sterren is erg laag, hoog.
~~Betrekke de scaling law die ons iets vertelt over de Faber-Jackson relation is er ook een scaling law die vertelt vertelt~~
De Faber-Jackson relation is één van de scaling laws, de andere is dat de sterren dicht bij de fundamenteel plane liggen.

B7

c) De kleur en helderheid kunnen beschreven worden door een CMD. Deze vertelt ons dat eerst alle sterren op de Ms liggen. De zeer zware sterren in het blauw. Naarmate een ster opbrandt, verplaatsen deze zich van de Ms naar de groot bolh. De GBS zijn rode reuzen. De kleur van de sterren verandert dus van blauw naar rood. Eerst zullen de zwaardere sterren zich verplaatsen. Hierna de lichtere. De helderheid hangt hiermee samen. Deze wordt eerst bepaald door de zware sterren in het blauw op de MS, ± 5 Gyr wordt deze juist bepaald door de roderen sterren op de GBS. De blauwe sterren zijn veel helderder dan de rode sterren. De helderheid neemt dus af met de tijd.

De globular clusters zijn erg oud, ~~maar~~ hun helderheid wordt dus bepaald door de rode-reuzen. Dit betekent dat vroeger, toen de helderheid nog bepaald werd door de MS, de clusters helderder waren.

maar de rode sterren zijn helderder dan de main sequence sterren van dezelfde leeftijd.

B8

5) ~~Astro~~

AGN's hebben een onteeffend grote uitstraling van energie. Dit doet denken aan onteeffend grote objecten. Metingen aan de fijl die nodig is voor het veranderen van de helderheid, laten echter zien dat de AGN's erg klein zijn. Daarom worden ze gescherpt zwart gat te zijn.

De Eddington-luminosity is de limiet die aangeeft wat de luminosity moet zijn van een object om niet te worden door een zwart gat. Dit is de luminosity waarbij de straling van het object de gezette kracht van de straling van het object is van de aantrekkracht van het zwarte gat. De twee krachten heffen elkaar dus op. Bij een grotere luminosity dan de Eddington-luminosity zal het object zich van het zwarte gat af bewegen.

~~B~~

B

1a	8		12 - 13
b	1		
c	2		

2 - 15

3 - 14

4 - 14

$$5 - 17 \rightarrow 7.3 + 7.54 \rightarrow 7.37 \rightarrow 7.5$$

(without colleges)
(weighted)

A

~~average~~

1a - 10

b - 5

c - 2

17

$$8.6 + 8.04 \rightarrow 8.43$$

2) 16 - 17

$$\rightarrow 8.5$$

3) 18

4) 19

5) 16